

PAIR/T.149/1985

RADIOLISIS SULFAMETAZIN DAN  
SULFAMERASIN

Sutjipto Sudiro

K.A. 424

## RADIOLISIS SULFAMETAZIN DAN SULFAMERASIN

Sutjipto Sudiro\*

### ABSTRAK

RADIOLISIS SULFAMETAZIN DAN SULFAMERASIN. Telah dilakukan penelitian radiolisis sulfametazin dan sulfamerasin dengan variasi konsentrasi  $10^{-4}$  sampai  $7,5 \times 10^{-4}$  Molar, dan dosis iradiasi antara 1 sampai 5 kGy. Produk yang terbentuk dianalisis dengan kromatografi cair tekanan tinggi. Diduga produk yang terbentuk pada radiolisis sulfametazin antara lain asam sulfanilat,  $N^1-(4,6\text{-dimetil-2-pirimidinil})3\text{-hidroksi-sulfanilamid}$  dan  $N^1-(4,6\text{-dimetil-5-hidroksi-2-pirimidinil})$  sulfanilamid, sedang pada radiolisis sulfamerasin, diduga antara lain asam sulfanilat,  $N^1-(4\text{-metil-2-pirimidinil})3\text{-hidroksi-sulfanilamid}$  dan  $N^1-(4\text{-metil-5-hidroksi-2-pirimidinil})$  sulfanilamid.

### ABSTRACT

RADIOLYSIS OF SULPHAMETHAZINE AND SULPHAMERASINE. Radiolysis of sulphamethazine and sulphamerasin have been investigated with concentration varied from  $10^{-4}$  to  $7,5 \times 10^{-4}$  Molar and irradiation doses of 1 to 5 kGy. The products were analyzed on a high pressure liquid chromatograph. The radiolysis products of sulphamethazine and sulphamerasin were supposed to be sulphamic acid,  $N^1-(4,6\text{-dimethyl-2-pyrimidinyl})3\text{-hydroxy-sulphanilamide}$ ,  $N^1-(4,6\text{-dimethyl-5-hydroxy-2-pyrimidinyl})$  sulphanilamide and sulphamic acid,  $N^1-(4\text{-methyl-2-pyrimidinyl})3\text{-hydroxy-sulphanilamide}$ ,  $N^1-(methyl-5-hydroxy-2-pyrimidinyl)$  sulphanilamide respectively.

### PENDAHULUAN

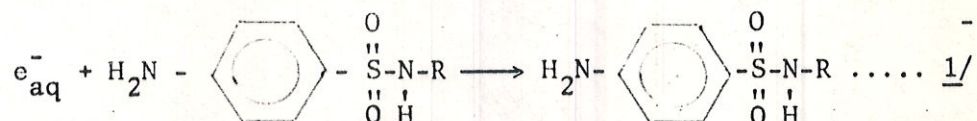
PHILLIPS dkk.(1) telah meneliti radiolisis natrium sulfasetamid  $10^{-3}$  Molar, dosis 2,5 kGy dan produk yang terbentuk dianalisis dengan TLC. Produk tersebut antara lain asam sulfanilat dan derivat amin

---

\* Pusat Aplikasi Isotop dan Radiasi, BATAN

aromatik primer lain yang belum diidentifikasi.

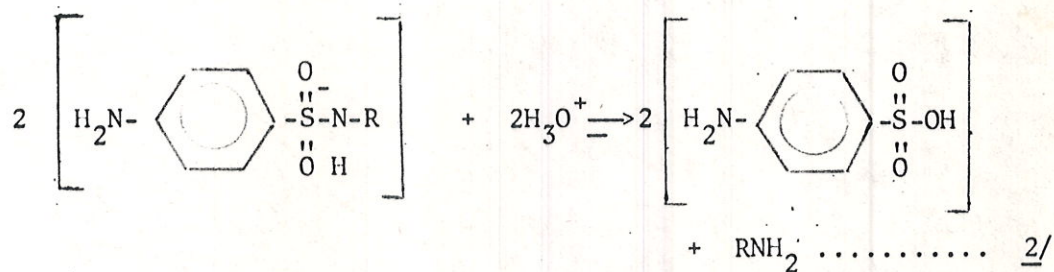
Pada tahun berikutnya PHILLIPS dkk. (2) meneliti radiolisis derivat sulfonamid yang lain, yaitu sulfanilamid, sulfaguanidin, dan sulfatiasol. Pada konsentrasi  $10^{-3}$  Molar dan dosis 2,5 kGy, ketiga radiolisis tersebut menghasilkan asam sulfanilate. Menurut PHILLIPS dkk. (1, 2) reaksi  $e^-_{aq}$  dengan sulfonamid berlangsung sebagai berikut :



Reaksi terbentuknya asam sulfanilate selanjutnya belum diketahui.

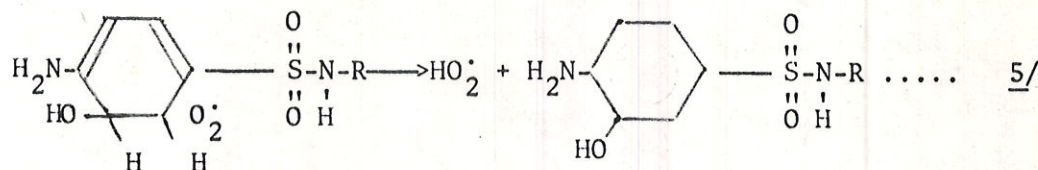
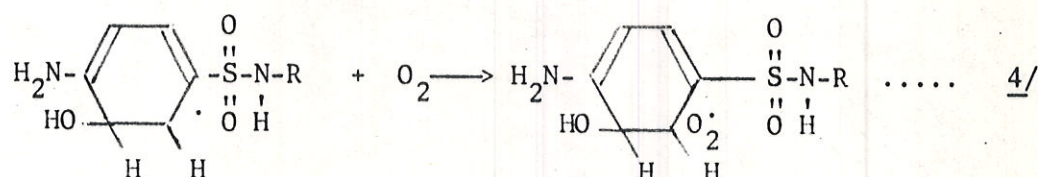
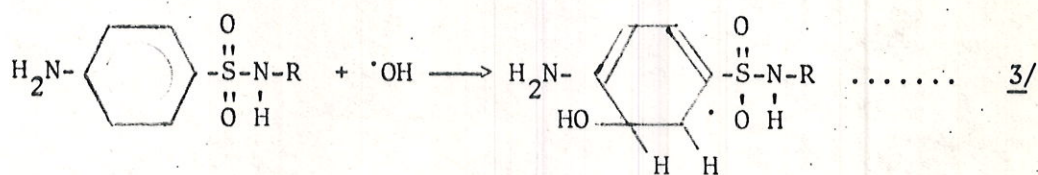
Pada tahun 1983, ALI-ALI dan POWER (3) meneliti radiolisis sulfadiasin, sulfamerasin, dan sulfametazin. Produk yang terbentuk juga dianalisis dengan TLC. Pada konsentrasi  $10^{-3}$  Molar dan dosis 2 kGy, ketiga radiolisis tersebut terbentuk asam sulfanilate, derivat fenol, dan derivat 2-amino-pirimidin.

Pada penelitian radiolisis sulfametazin dan sulfamerasin ini, produk dianalisis dengan HPLC. Diduga reaksi antara  $e^-_{aq}$  dengan sulfametazin dan sulfamerasin berlangsung seperti reaksi 1/. Spesi sulfonamid yang bermuatan negatif yang terbentuk diduga bereaksi dengan  $H_3O^+$  menghasilkan asam sulfanilate.

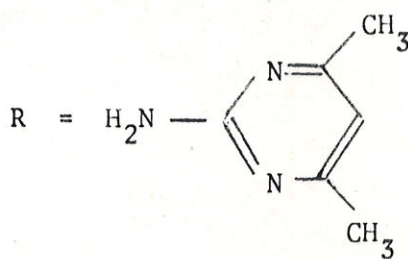


Produk lain diduga hasil reaksi  $\cdot\text{OH}$  dengan sulfametazin dan sulfamerasin. Karena pada sulfametasin dan sulfamerasin ada 2 cincin yaitu bensen dan pirimidin, maka reaksi  $\cdot\text{OH}$  dengan kedua derivat sulphonamid tersebut ada dua kemungkinan. Kemungkinan pertama  $\cdot\text{OH}$  bereaksi dengan cincin bensen, kemungkinan lain bereaksi dengan cincin pirimidin.

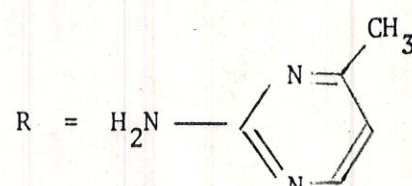
Reaksi 'OH dengan cincin bensen sulfonamid diduga berlangsung seperti reaksi pembentukan fenol pada radiolisik bensen menurut O'DONNELL dan SANGSTER (4), sebagai berikut :



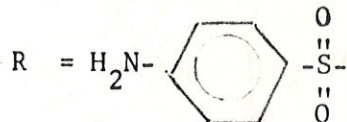
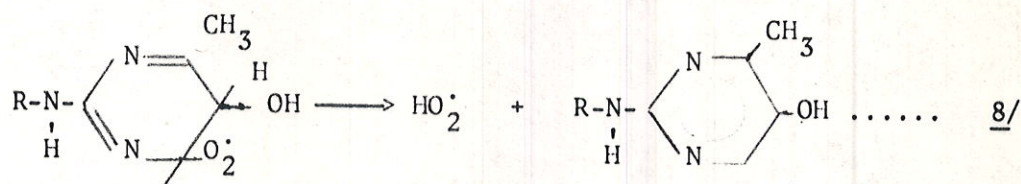
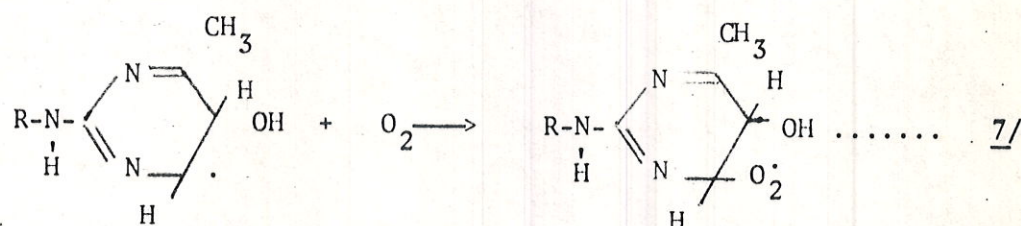
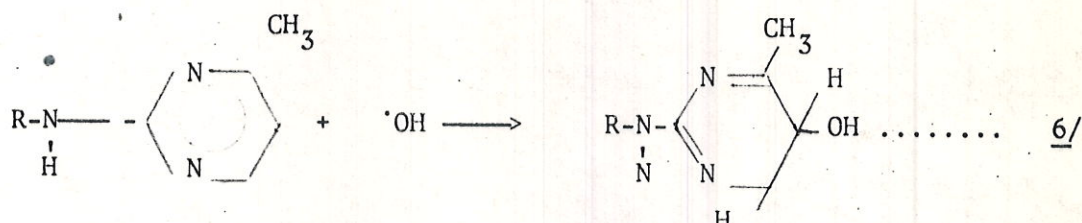
### Sulfametazin :



#### Sulfamerasins



Reaksi adisi ·OH pada cincin pirimidin dari sulfametasin dan sulfamerasin, mungkin cenderung masuk pada posisi 5, karena pengaruh gugus amino dan metil pada <sup>cincin</sup> tersebut. Reaksi menjadi sebagai berikut:



Reaksi pada sulfametazin, analog dengan reaksi 6/- 8/.

#### TATA KERJA

*Bahan.* Semua zat kimia yang digunakan berkualitas p.a. buatan E.Merck, kecuali sulfametazin dan sulfamerasin berkualitas British Pharmacopoeia buatan Pliva Yugoslavia, sedang air yang digunakan ialah air bides.

*Peralatan.* HPLC Waters Associates model 440, dengan mikro Bondapak C<sub>18</sub> ukuran 3,9 x 30 cm, detektor UV-254 nm, kecepatan kertas 1 cm/menit, sensitivitas 0,2 AUFS, kecepatan aliran 1,5 ml/menit. Eluen untuk analisis produk radiolisis ialah campuran metanol/bufer amonium hidrofosfat 10<sup>-2</sup> Molar / air bides / asetonitril, 14 : 20 : 65 : 1 (v/v), sedang untuk produk analisis sulfamerasin digunakan campuran metanol/bufer amonium hidrofosfat 10<sup>-2</sup> Molar / air bides / asetonitril, 9 : 20 : 70 : 1 (v/v), pH meter yang digunakan digital HM-10B TOA-ELECTRICS Ltd. Japan. Irradiator yang digunakan tipe Gamma Cell 220, dengan laju dosis 0,93 kGy/jam (Dosimeter Fricke).

*Prosedur.* Larutan sulfametazin dan sulfamerasin dengan variasi konsentrasi 10<sup>-4</sup>, 2,5 x 10<sup>-4</sup>, 5 x 10<sup>-4</sup>, dan 7,5 x 10<sup>-4</sup> Molar dalam pelarut air, diiradiasi dengan dosis 1, 2, 3, 4, dan 5 kGy. Produk yang terbentuk dianalisis dengan HPLC, sedang perubahan pH larutan diukur dengan pH meter.

Untuk mengetahui peran ·OH pada pembentukan produk, larutan sulfametazin 7,5 x 10<sup>-4</sup> Molar dan sulfamerasin 2,5 x 10<sup>-4</sup> Molar yang mengandung scavenger etanol 5 x 10<sup>-4</sup> Molar diiradiasi dengan dosis 1 kGy. Produk yang terbentuk dianalisis dengan HPLC.

Untuk mengetahui peran e<sup>-</sup><sub>aq</sub> pada pembentukan produk, maka larutan sulfametazin 7,5 x 10<sup>-4</sup> Molar dan sulfamerasin 2,5 x 10<sup>-4</sup> Molar sambil dialiri gas N<sub>2</sub>O diiradiasi dengan dosis 1 kGy. Produk yang terbentuk dianalisis dengan HPLC.

Untuk mengetahui peran O<sub>2</sub> dalam larutan pada pembentukan produk, maka larutan sulfametazin 7,5 x 10<sup>-4</sup> Molar dan sulfamerasin 2,5 x 10<sup>-4</sup>

Molar dialiri gas N<sub>2</sub> selama 1 jam sebelum diiradiasi. Dosis yang digunakan 1 kGy. Produk yang terbentuk dianalisis dengan HPLC.

Percobaan ini diulang 3 kali.

#### HASIL DAN PEMBAHASAN

Kromatogram larutan sulfametazin setelah diiradiasi dapat dilihat pada Gambar 1, sedang larutan sulfamerasin pada Gambar 8. Pita kromatogram A pada Gambar 1 dan E pada Gambar 8 mempunyai waktu retensi ( $R_t$ ) sama dengan pita kromatogram asam sulfanilat. Dari data ini dapat dibuat pendugaan bahwa senyawa A dan B adalah asam sulfanilat.

Kadar asam sulfanilat yang terbentuk pada kedua radiolisis, dapat dilihat pada Gambar 2 dan 9. Pada gambar tersebut terlihat bahwa mulai dosis 4 kGy, kadar asam sulfanilat menurun.

Perubahan pH setelah iradiasi pada kedua radiolisis dapat dilihat pada Gambar 4 dan 11. Pada gambar tersebut terlihat bahwa sampai dengan dosis 5 kGy, makin besar dosis iradiasi, pH larutan makin rendah.

Sisa sulfametazin pada radiolisis dapat dilihat pada Gambar 3, sedang sisa sulfamerasin pada Gambar 10.

Pengaruh scavenger etanol pada kedua radiolisis dapat dilihat pada Gambar 5 dan 13. Pada gambar tersebut terlihat bahwa pada penambahan etanol, pita kromatogram B dan C serta F dan G menjadi kecil. Pada data ini dapat dibuat kesimpulan bahwa senyawa B dan C adalah hasil reaksi 'OH dengan sulfametazin sedang senyawa F dan G adalah

hasil reaksi  $\cdot\text{OH}$  dengan sulfamerasin. Pada penelitian selanjutnya, ternyata bahwa larutan senyawa C dan G yang ditampung dari HPLC, berwarna kuning dengan reagen dimetilaminobenzaldehid dan tidak berwarna biru dengan reagen  $\text{FeCl}_3$ . Dengan demikian dapat dibuat kesimpulan bahwa senyawa C dan G adalah derivat aromatik amin primer. Oleh karena senyawa C dan G bukan derivat fenol, maka  $\cdot\text{OH}$  tidak masuk dalam cincin bensen, tetapi masuk dalam cincin pirimidin. Reaksi adisi  $\cdot\text{OH}$  pada cincin pirimidin dari sulfametazin dan sulfamerasin, diduga cenderung masuk pada posisi 5, karena pengaruh gugus amino dan metil pada cincin tersebut. Dengan demikian dapat dibuat pendugaan bahwa senyawa C dan adalah  $\text{N}^1-(4,6\text{-dimetil-5-hidroksi-2-pirimidinil})\text{ sulfanilamid}$ , sedang senyawa G adalah  $\text{N}^1-(4,6\text{-metil-5-hidroksi-2-pirimidinil})\text{ sulfanilamid}$ .

Larutan senyawa B dan F yang ditampung dari HPLC, ternyata berwarna biru dengan reagen  $\text{FeCl}_3$ , dan berwarna kuning dengan reagen dimetilaminobenzaldehid. Jadi senyawa B dan F adalah derivat aromatik amin primer dan fenol.

Reaksi adisi  $\cdot\text{OH}$  pada cincin bensen sulfametazin dan sulfamerasin, diduga cenderung masuk pada posisi 3, karena pengaruh gugus amino dan sulfon pada cincin bensen tersebut. Dengan demikian dapat dibuat pendugaan bahwa senyawa B adalah  $\text{N}^1-(4,6\text{-dimetil-2-pirimidinil})\text{ 3-hidroksi-sulfanilamid}$  sedang senyawa F adalah  $\text{N}^1-(4\text{-metil-2-pirimidinil})\text{ 3-hidroksi-sulfanilamid}$ .

Pengaruh pengusiran  $\text{O}_2$  dari dalam larutan pada kedua radiolisis dapat dilihat pada Gambar 7 dan 12. Pada gambar tersebut terlihat bahwa pada radiolisis tanpa  $\text{O}_2$ , produk B dan C serta F dan G menjadi

kecil. Dari data ini dapat dibuat kesimpulan bahwa  $O_2$  dalam larutan mempunyai peran dalam pembentukan produk B dan C serta F dan G. Reaksi terbentuknya senyawa B dan F dapat dilihat pada reaksi 3/ sampai 5/, sedang senyawa C dan G pada reaksi 6/ sampai dengan 8/.

Pengaruh scavenger gas  $N_2O$  pada kedua radiolisis dapat dilihat pada Gambar 6 dan 14. Jika dibandingkan dengan radiolisis tanpa  $O_2$ , maka dengan penambahan gas  $N_2O$  mengakibatkan pita kromatogram A dan E menjadi kecil. Jadi dapat dibuat kesimpulan bahwa senyawa A adalah hasil reaksi  $e^-_{aq}$  dengan sulfametazin, sedang senyawa E adalah hasil reaksi  $e^-_{aq}$  dengan sulfamerasin. Reaksi terbentuknya asam sulfanilat ini diduga seperti pada reaksi 1/ sampai dengan 2/.

#### KESIMPULAN

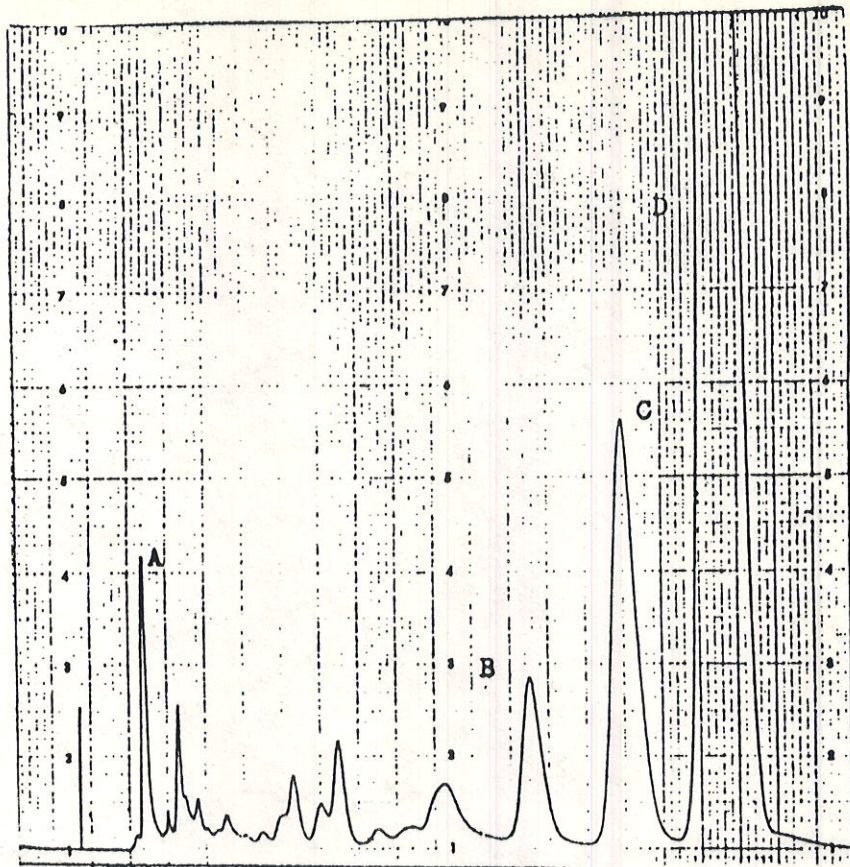
Pada radiolisis sulfametazin terbentuk produk yang diduga asam sulfanilat,  $N^1-(4,6\text{-dimetil-}5\text{-hidroksi-}2\text{-pirimidinil})$  sulfanilamid dan  $N^1-(4,6\text{-dimetil-}2\text{-pirimidinil})3\text{-hidroksi-sulfanilamid}$ , sedang pada radiolisis sulfamerasin terbentuk produk yang diduga asam sulfanilat,  $N^1-(4\text{-metil-}2\text{-pirimidinil})3\text{-hidroksi-sulfanilamid}$  dan  $N^1-(4\text{-metil-}2\text{-pirimidinil})3\text{-hidroksi-sulfanilamid}$ .

#### UCAPAN TERIMA KASIH

Terimakasih disampaikan kepada Saudara Nur Hidayati, yang telah membantu pelaksanaan penelitian ini.

## DAFTAR PUSTAKA

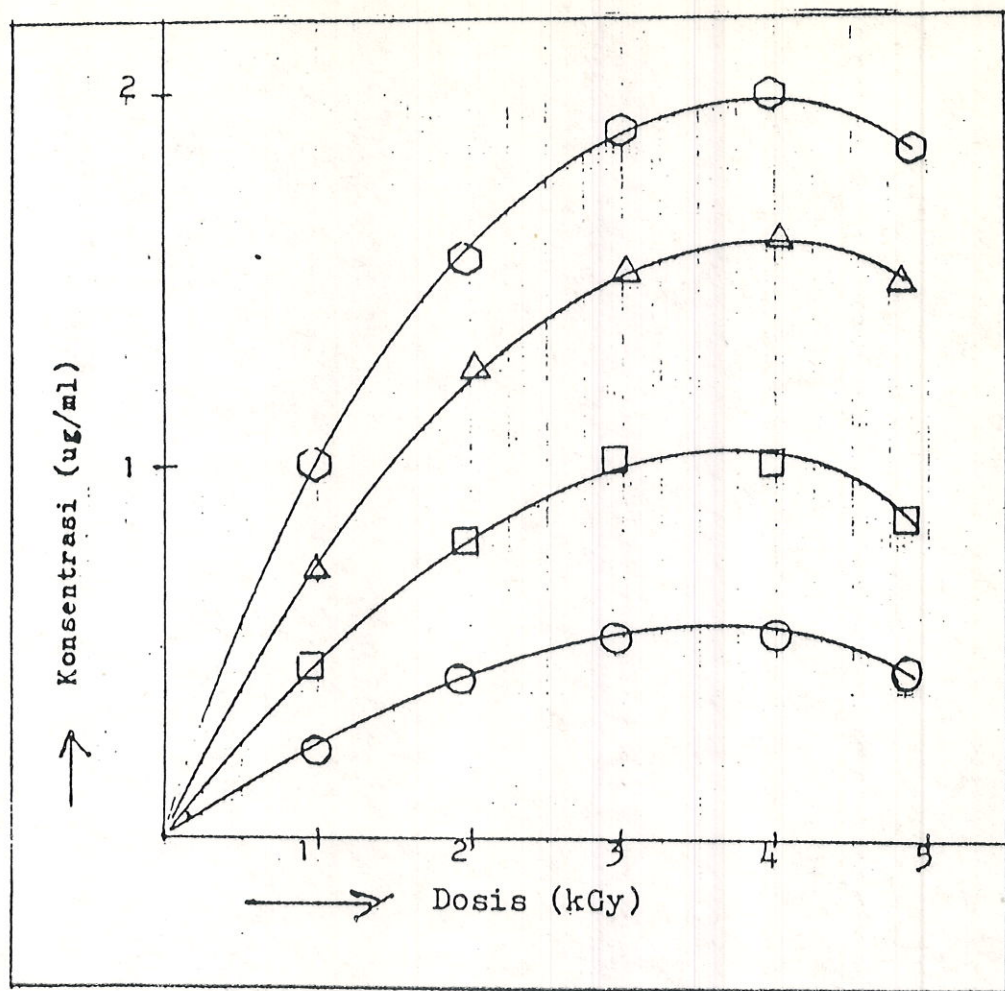
1. PHILLIPS, G.O., POWER, D.M., and SEWART, M., Effects of  $\gamma$  irradiation on sodium sulphacetamide, The Journal of Radiation Research 46 (1971) 236.
2. PHILLIPS, G.O., POWER, D.M., and SEWART, M., Effects of  $\gamma$  irradiation on sulphonamides, The Journal of Radiation Research 53 (1973) 204.
3. AL-ALI, A.K., and POWER, D.M., Effects of  $\gamma$  irradiation on sulphamerazine, sulphadiasine and sulphamethazine, The Journal of Radiation Physics 22 (1983) 989.
4. O'DONNELL, J.H., and SANGSTER, D.F., Principle of Radiation Chemistry, Edward Arnold Ltd., London (1970).



Gambar 1. Kromatogram larutan sulfametazin  $7,5 \times 10^{-4}$  Molar yang diradiasi 1 kGy.

Keterangan :

- A. Asam sulfanilat.
- B.  $N^1-(4,6\text{-dimetil-2- pirimidinil})3\text{-hidroksi-sulfanilamid}.$
- C.  $N^1-(4,6\text{-dimetil-5-hidroksi-2- pirimidinil})sulfanilamid.$
- D. Sulfametazin.



Gambar 2. Banyaknya asam sulfahilat yang terbentuk pada radiolisis sulfametazin.

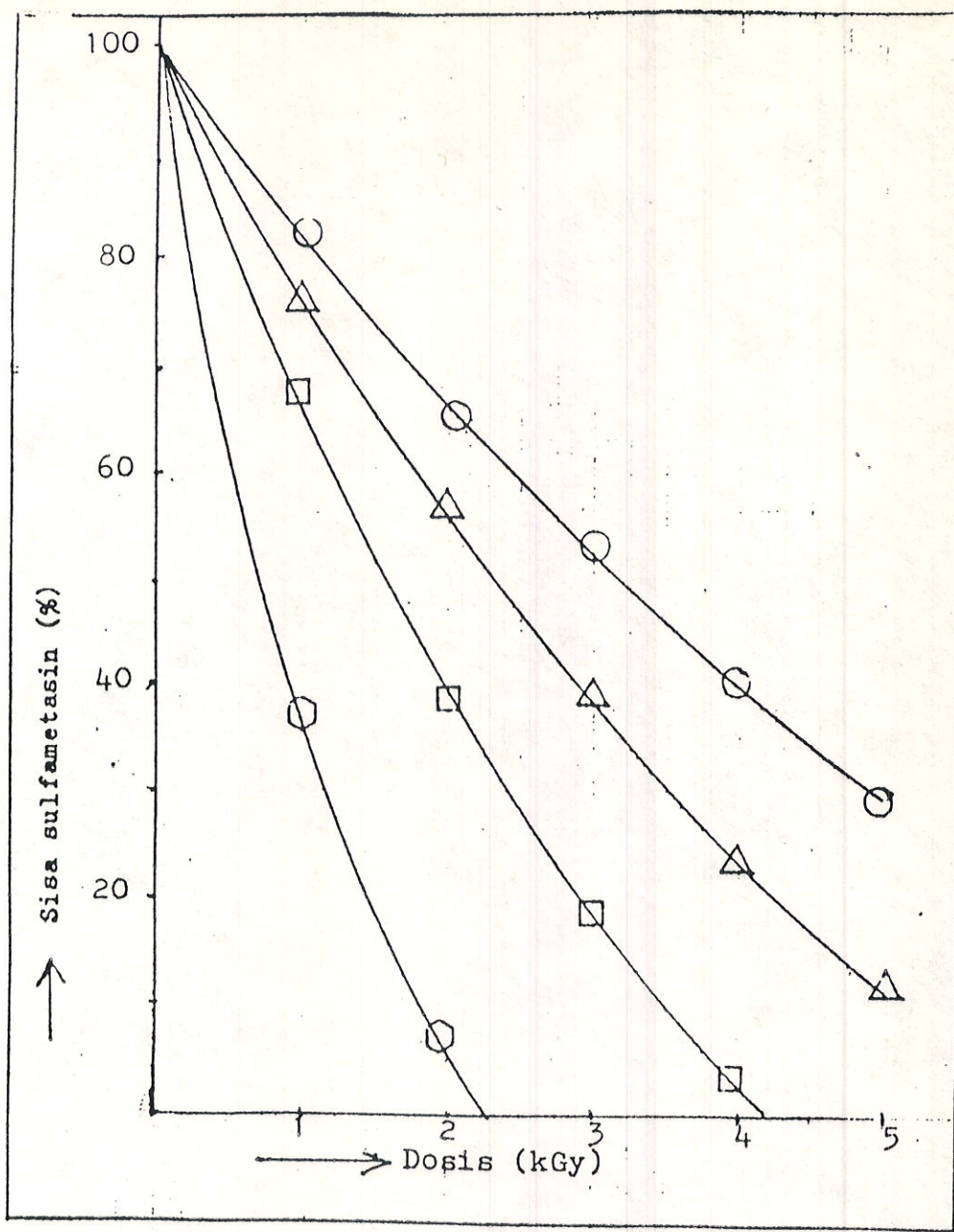
Keterangan : Larutan sulfametazin,

$\circ$  =  $10^{-4}$  Molar

$\square$  =  $2,5 \times 10^{-4}$  Molar

$\triangle$  =  $5 \times 10^{-4}$  Molar

$\circ$  =  $7,5 \times 10^{-4}$  Molar



Gambar 3. Penurunan konsentrasi sulfametazin pada radio-lisis sulfametazin.

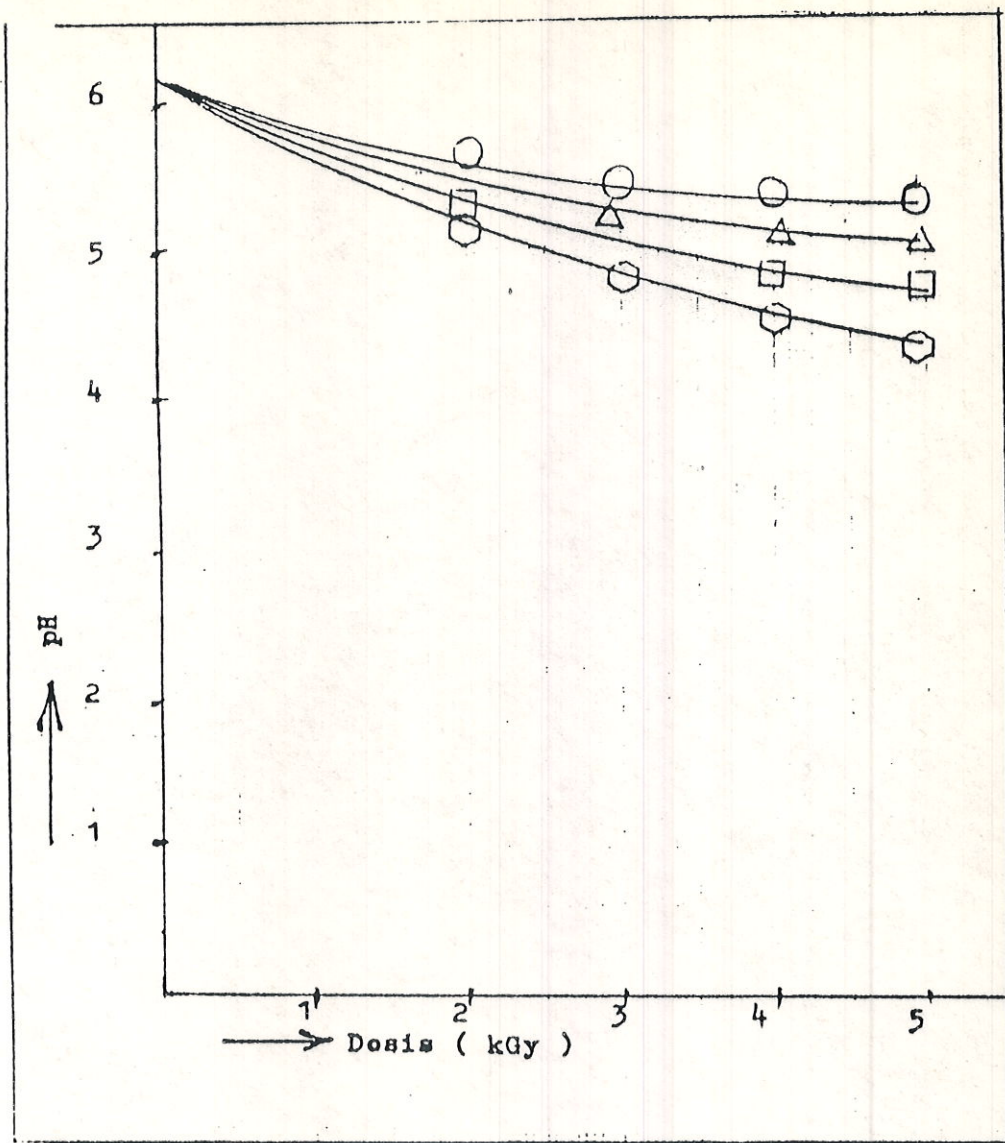
Keterangan : Larutan sulfametazin,

$$\textcircled{O} = 10^{-4} \text{ Molar.}$$

$$\square = 2,5 \times 10^{-4} \text{ Molar.}$$

$$\triangle = 5 \times 10^{-4} \text{ Molar.}$$

$$\textcircled{\text{O}} = 7,5 \times 10^{-4} \text{ Molar.}$$



Gambar 4. Penurunan pH pada radiolisir sulfametazin.

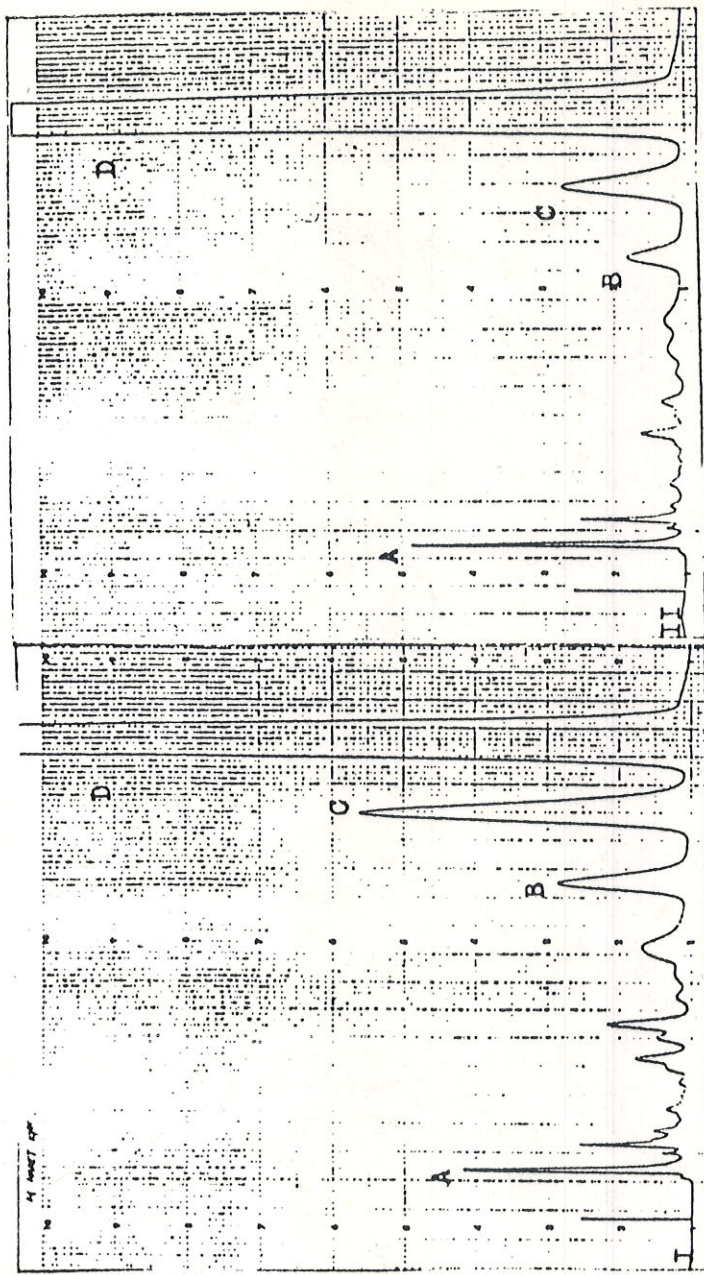
Keterangan : Larutan sulfametazin,

○ =  $10^{-4}$  Molar.

△ =  $2,5 \times 10^{-4}$  Molar.

□ =  $5 \times 10^{-4}$  Molar.

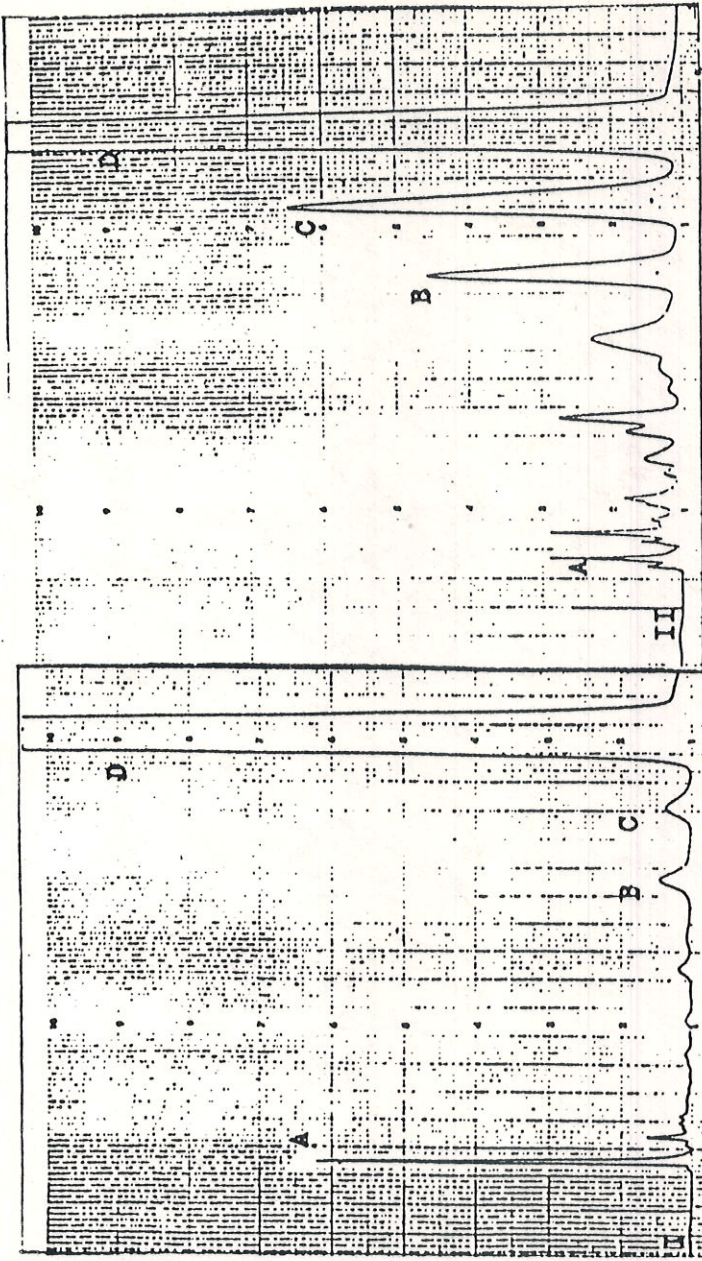
○ =  $7,5 \times 10^{-4}$  Molar.



Gambar 5. Pengaruh "scavenger" etanol  $5 \times 10^{-4}$  Molar pada radiolisir sulfametazin  $7,5 \times 10^{-4}$  Molar, dosis 1 kGy.

Keterangan : I. Tidak ditambah "scavenger" etanol.  
II. Ditambah "scavenger" etanol.

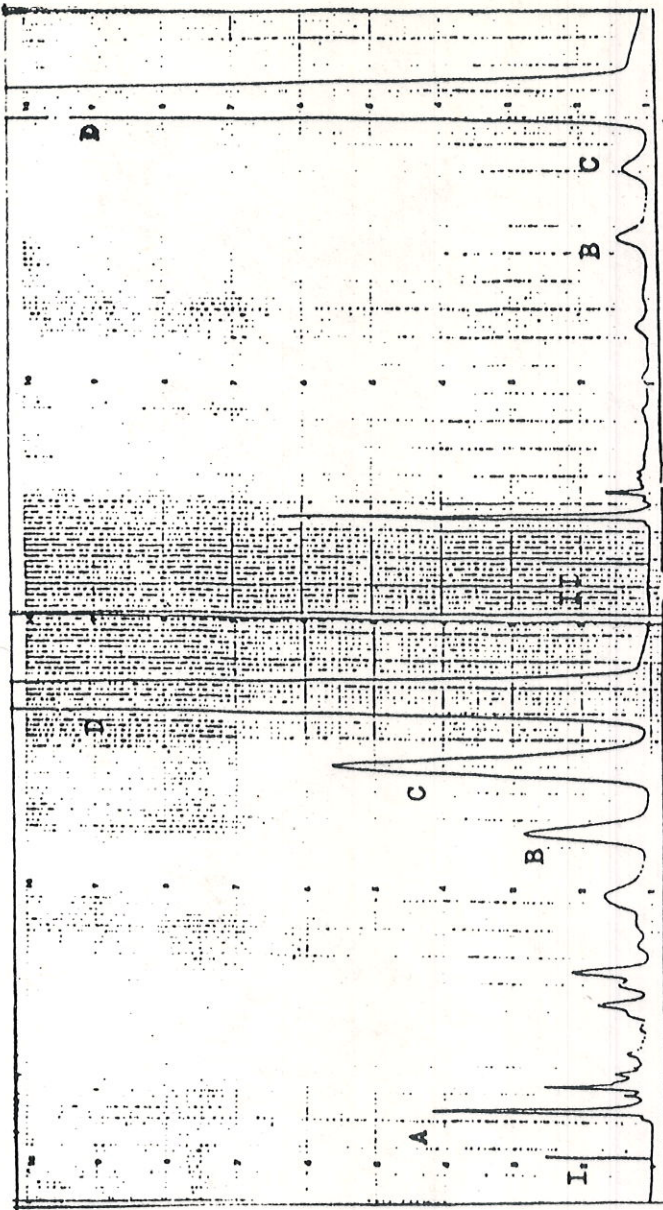
- A. Asam sulfanilat.
- B.  $\text{N}^1-(4,6\text{-dimetyl-2-pirimidinil})3\text{-hidroksi-sulfanilamid}$ .
- C.  $\text{N}^1-(4,6\text{-dimetyl-5-hidroksi-2-pirimidinil})sulfanilamid$ .
- D. Sulfametazin.



Gambar 6. Pengaruh "scavenger" gas  $N_2O$  pada radiolisis sulfametazin  $7,5 \times 10^{-4}$  Molar, dosis 1 kGY.

Keterangan : I. Dialiri gas  $N_2$ .  
II. Dialiri gas  $N_2O$ .

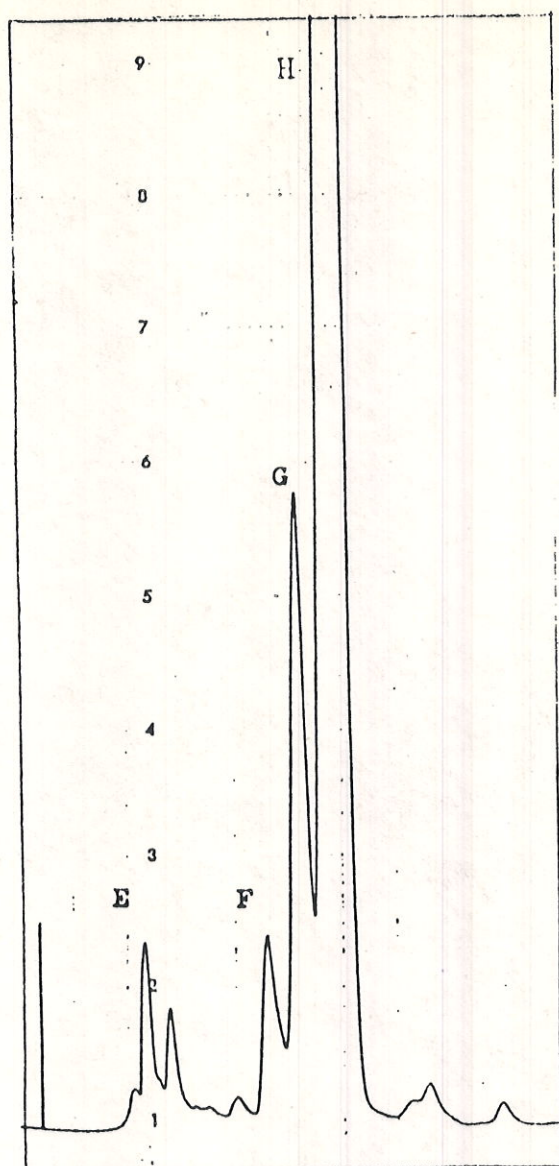
- A. Asam sulfanilat.
- B.  $N^1-(4,6\text{-dimetil-2-pirimidinil})3\text{-hidroksi-sulfanilamid}.$
- C.  $N^1-(4,6\text{-dimetil-5-hidroksi-2-pirimidinil})sulfanilamid.$
- D. Sulfametazin.



Gambar 7. Pengaruh penceliran gas  $N_2$  pada radiolisir sulfametazin  $7,5 \times 10^{-4}$  Molar, dosis 1 kGy.

Keterangan :

- I. Tidak dialiri gas  $N_2$ .
  - II. Dialiri gas  $N_2$ .
- A. Asam sulfanilat.
  - B.  $N^1-(4,6\text{-dimetyl-2-pirimidinil})3\text{-hidroksi-sulfanilamid}$ .
  - C.  $N^1-(4,6\text{-dimetyl-5-hidroksi-2-pirimidinil})sulfanilamid$ .
  - D. Sulfametazin.



Gambar 8. Kromatogram larutan sulfamerasin  $2,5 \times 10^{-4}$  Mol.  
dosis 1 kGy.

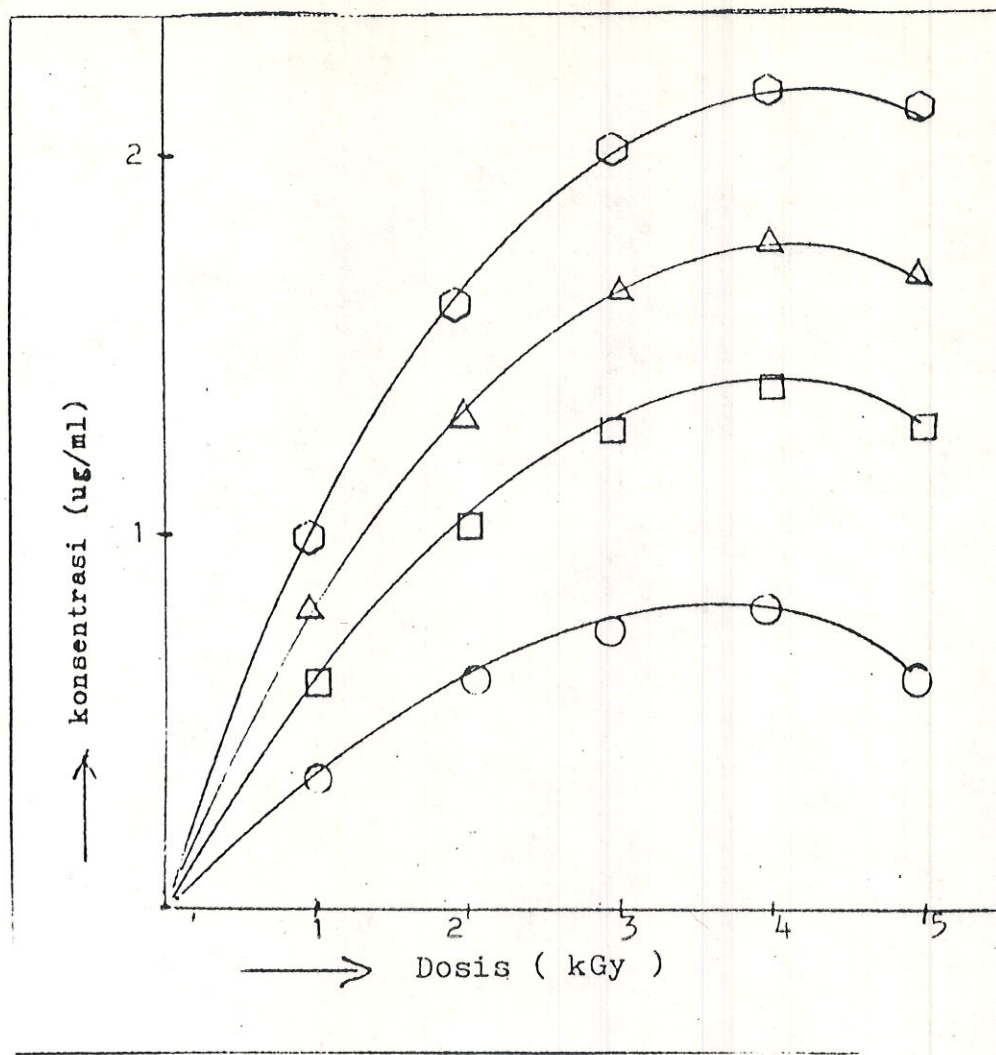
Keterangan :

E = asam sulfanilat.

F =  $N^1-(4\text{-metil-2-pirimidinil})3\text{-hidroksi-sulfanilamid}$ .

G =  $N^1-(4\text{-metil-5-hidroksi-2-pirimidinil})sulfanilamid$ .

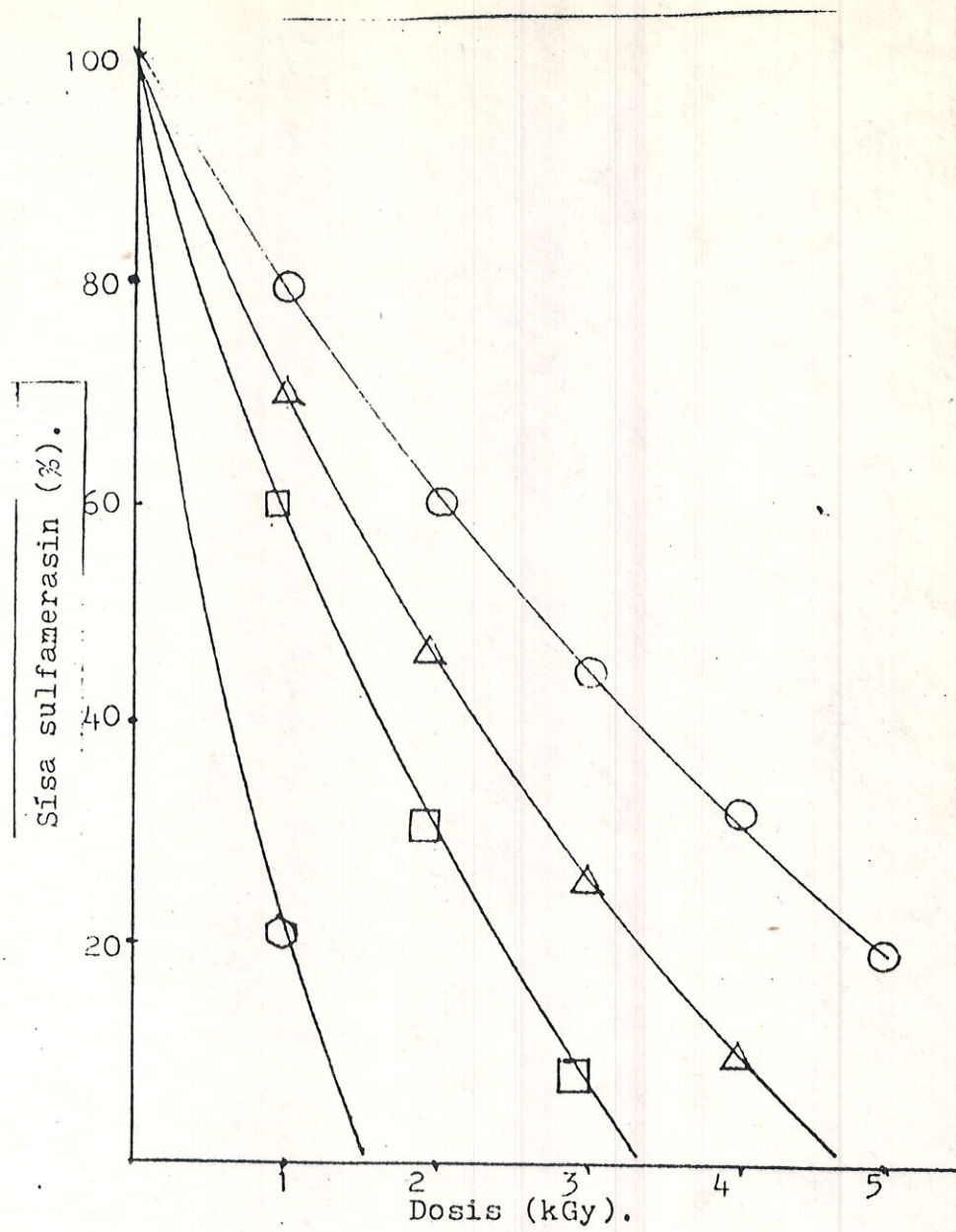
H = sulfamerasin.



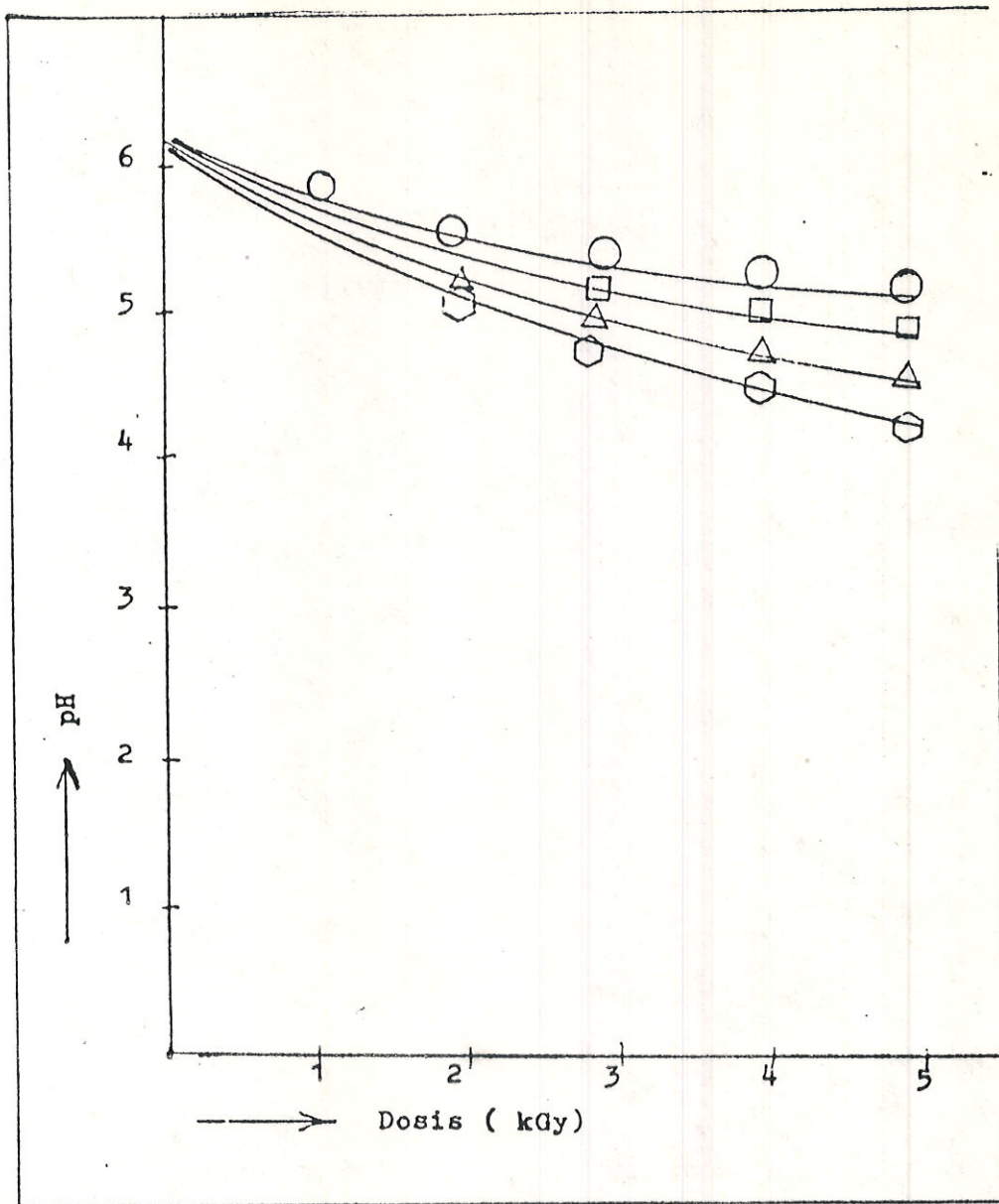
Gambar 9. Banyaknya asam sulfanilat yang terbentuk pada radiolisis sulfamerasin.

Keterangan : Larutan sulfamerasin,

- =  $10^{-4}$  Molar
- =  $2,5 \times 10^{-4}$  Molar
- △ =  $5 \times 10^{-4}$  Molar
- ◇ =  $7,5 \times 10^{-4}$  Molar



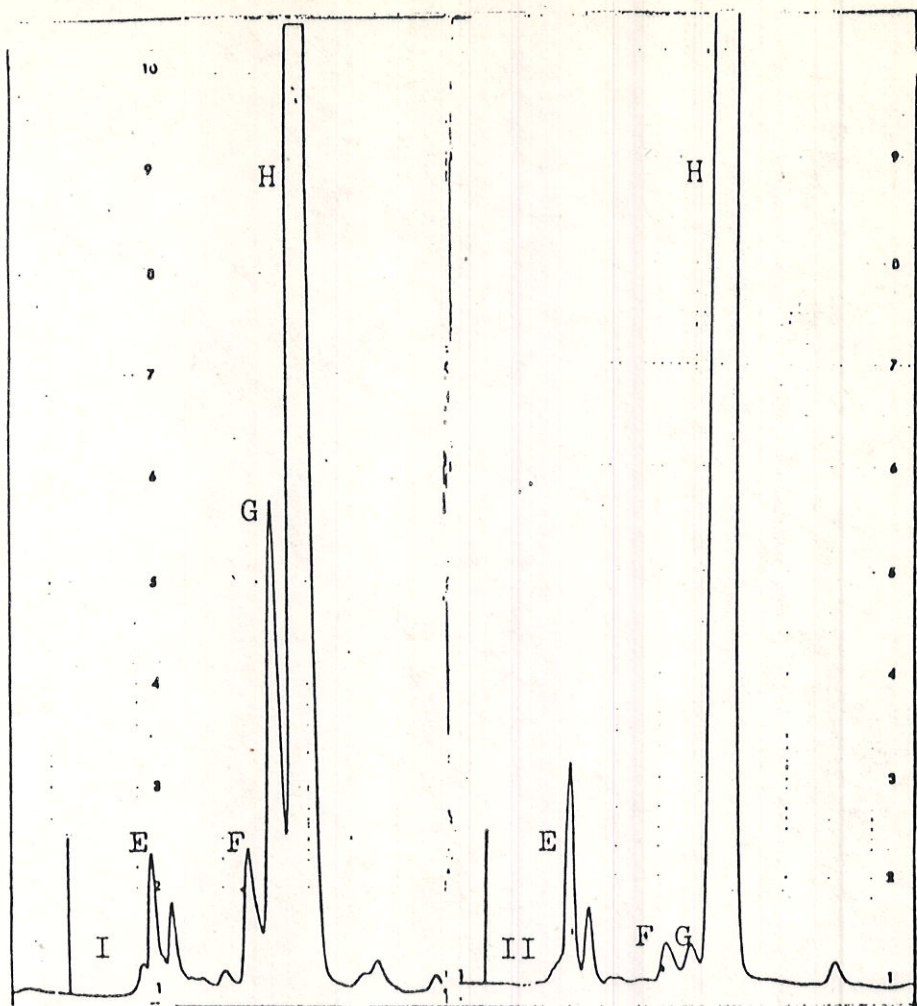
Gambar 10. Penurunan konsentrasi sulfamerasin pada radio-lisis silfamerasin. Keterangan :   
 ○ =  $10^{-4}$  Molar.  
 □ =  $2,5 \times 10^{-4}$  Molar.  
 △ =  $5 \times 10^{-4}$  Molar.  
 ● =  $7,5 \times 10^{-4}$  Molar.



Gambar 11. Penurunan pH pada radiolisis sulfamerasin.

Keterangan : Larutan sulfamerasin,

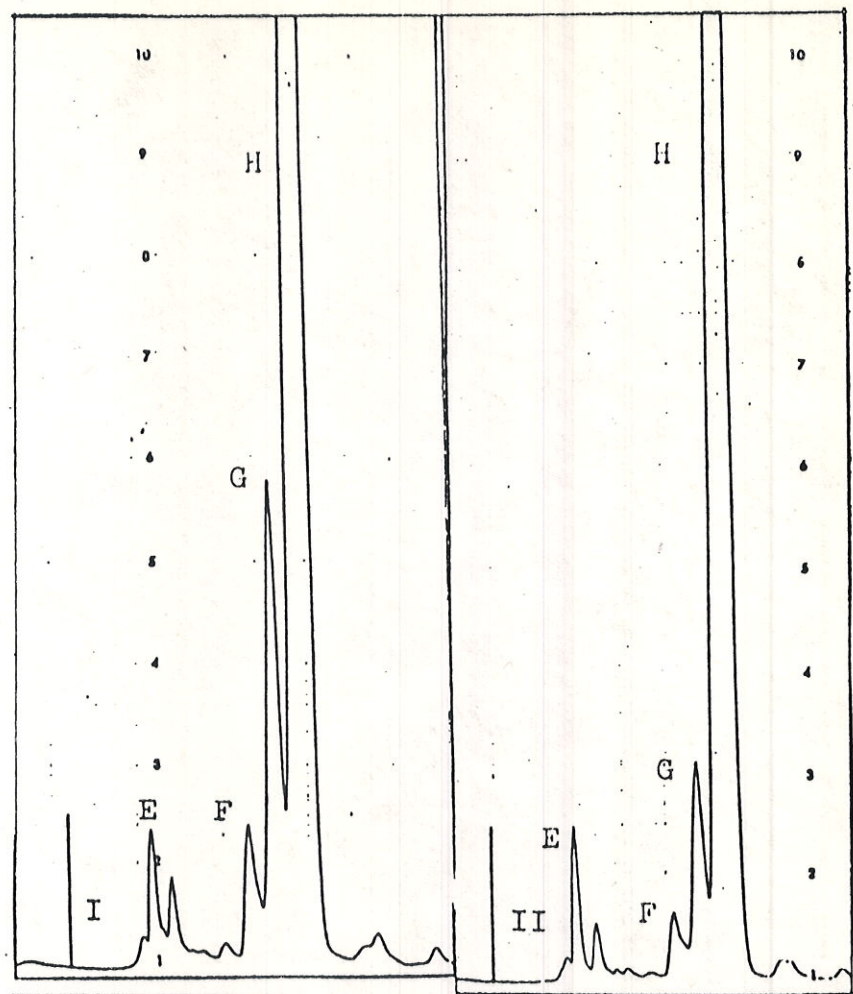
- =  $10^{-4}$  Molar.
- =  $2,5 \times 10^{-4}$  Molar.
- △ =  $5 \times 10^{-4}$  Molar.
- ◇ =  $7,5 \times 10^{-4}$  Molar.



Gambar 12. Pengaruh pengaliran gas  $N_2$  pada radiolisis sulfamerasin  $2,5 \times 10^{-4}$  Molar, dosis 1 kGy.

Keterangan :

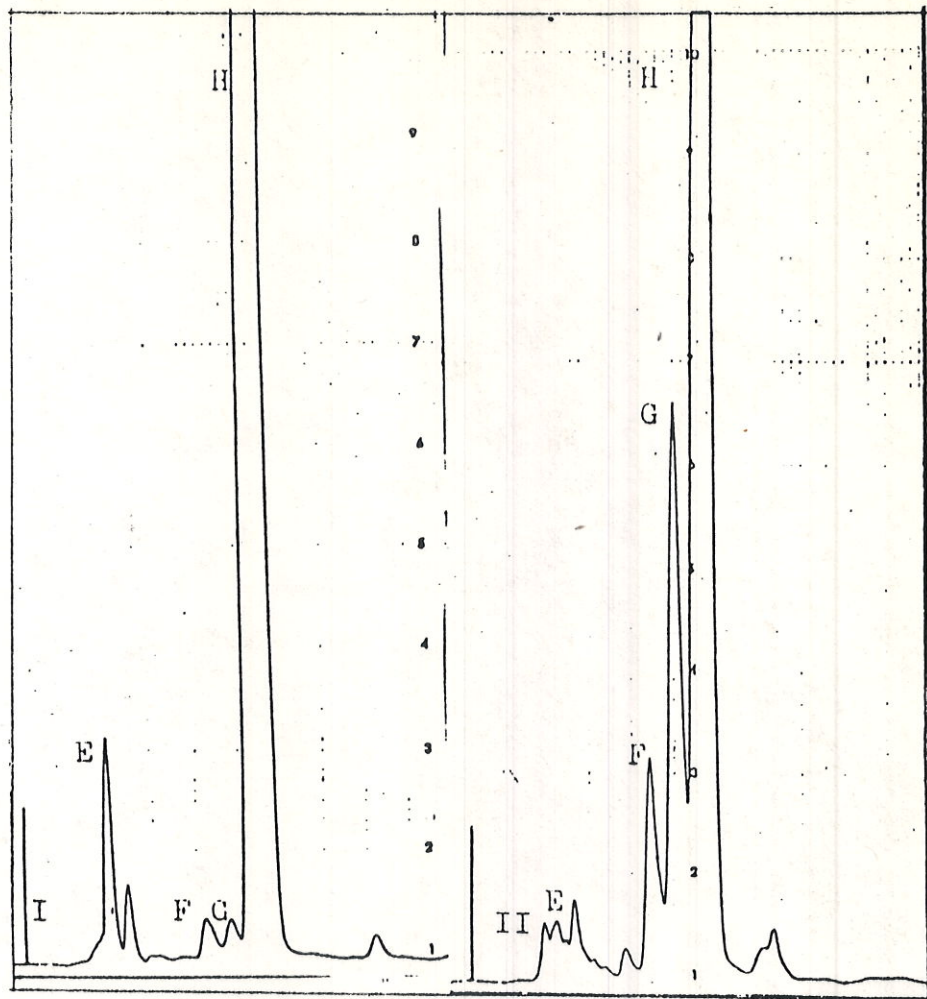
- I. Tidak dialiri gas  $N_2$ .
- II. Dialiri gas  $N_2$ .
- E. Asam sulfanilat
- F.  $N^1-(4\text{-metil-2-pirimidinil})3\text{-hidroksi-sulfanilamid}$ .
- G.  $N^1-(4\text{-metil-5-hidroksi-2-pirimidinil})sulfanilamid$ .
- H. Sulfamerasin.



Gambar 13. Pengaruh "scavenger" etanol  $5 \times 10^{-3}$  Molar pada radiolisasi sulfamerasin  $2,5 \times 10^{-4}$  Molar, dosis 1 kGy.

Keterangan :

- I. Tidak ditambah "scavenger" etanol.
- II. Ditambah "scavenger" etanol.
- E. Asam sulfanilat.
- F.  $N^1-(4\text{-metil-2-pirimidinil})3\text{-hidroksi-sulfanilamid}$ .
- G.  $N^1-(4\text{-metil-5-hidroksi-2-pirimidinil})sulfanilamid$ .
- H. Sulfamerasin.



Gambar 14. Pengaruh "scavenger" gas  $N_2O$  pada radiolisasi sulfamerasin  $2,5 \times 10^{-4}$  Molar, dosis 1 kGy.

Keterangan :

- I. Dialiri gas  $N_2$ .
- II. Dialiri gas  $N_2O$ .
- E. Asam sulfanilat.
- F.  $N^1-(4\text{-metil-2-pirimidinil})3\text{-hidroksi-sulfanilamid}$ .
- G.  $N^1-(4\text{-metil-5-hidroksi-2-pirimidinil})sulfanilamid$ .
- H. Sulfamerasin.